

技術報告 石灰系フラックスと酸化鉄による低珪素溶銑のインジェクション脱りん

佐々木清和*・中島啓之*・奥村治彦*・山田容三*
後藤裕規*・住田守弘*・辻野良二**

Investigation of Dephosphorization Reaction by Injecting Lime-based Fluxes and Iron Oxides into Hot Metal in Torpedo Ladle

Kiyokazu SASAKI, Hiroyuki NAKASHIMA, Haruhiko OKUMURA, Yozo YAMADA,
Hiroti GOTO, Morihiko SUMIDA, and Ryoji TSUJINO

Synopsis :

Dephosphorization by injecting lime-based fluxes and iron oxides into hot metal has been investigated extensively including water model test. The followings have been obtained through thermodynamic, kinetic and fluid dynamic studies.

(1) The dephosphorization behavior can be divided consistently in terms of consumption of dephosphorization reagent or oxygen supplied into three stages which are controlled by silicon content in metal, basicity of slag and so forth. The three stages are characterized as stagnant stage, proceeding stage and retarding stage in dephosphorization.

(2) The equation of dephosphorization reaction between molten iron and slag at temperatures of 1200 to 1400°C can be expressed by the conventional method available in LD process on the basis of stoichiometric reaction equation.

(3) A dynamic model considering both transitory reaction and permanent reaction is proposed to explain the dephosphorization behavior to quite a good agreement with experimental data based on mass-balance during oxidizing process. This has made it clear that the three stages are controlled by rate-determining factors such as basicity, silicon content, consumption of oxygen and phosphorus distribution ratio between slag and metal.

1. 緒 言

高純度鋼の製造およびスラグミニマム化の観点から、最も重要な工程の一つである溶銑脱りんについては、近年基礎から応用まで研究が活発になつてきている¹⁾。しかしながら量産精錬プロセスにおける経時的な脱りん挙動を熱力学的に検討し、さらにそれをベースとして脱りん反応を制御因子を用いて動的に取り扱う試みはあまりなされていない。

この報告の目的は、トーピードカー内の低珪素溶銑に石灰系フラックスと酸化鉄を吹き込むことによる脱りん工程において、経時的サンプリングにより得られたスラグメタル成分推移データを中心に、上記の視点から実施した溶銑脱りんの解析結果を紹介することである。

2. 試験方法

2.1 君津製鉄所の溶銑脱りん工程²⁾

当所の溶銑処理は、高炉鉄床脱珪とトーピードカー脱

りんとで構成されている。脱りん処理用溶銑には、溶融状態でリサイクルされた脱りんスラグと酸化鉄を主成分とする脱珪剤で脱珪した後、スラグの一部を除去したものが供される。脱りん処理は、特定の比率で混合されたFeO, CaO, CaF₂ および CaCl₂³⁾⁴⁾を、処理中は一定の速度で窒素ガスとともに浸漬ランプにより吹き込むことで行う。脱りん用溶銑の成分、温度および処理条件をTable 1に示す。

2.2 試験方法

脱りん剤の吹き込み速度と待ち時間が、脱りん挙動に与える影響を調べるために、脱りん剤吹き込み速度を、0.5~1.0 kg/min·t-p(パターンB)と1.5~2.5 kg/min·t-p(パターンA, S)とに変化させた(Table 1)。さらに脱りん挙動を推定するため経時にサンプリングし、スラグとメタルの成分推移を調査した。スラグの一部は鉱物組織調査のため、EPMA測定とX線回折に供した。なおサンプリングは、吹き込みを中断して1~2 min後に行う。

昭和58年4月18日受付 (Received Apr. 18, 1983)

* 新日本製鉄(株)君津製鉄所 (Kimitsu Works, Nippon Steel Corp., 1 Kimitsu Kimitsu 299-11)

** 新日本製鉄(株)君津技術研究部 (Kimitsu Technical Research Laboratories, Nippon Steel Corp.)

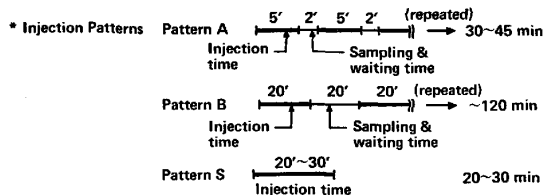
Table 1. Samples and main conditions chosen for our experiments.

1. The range of chemical compositions and temperatures of molten iron

	C	Si	Mn	P	S	Temp. (wt %)
	4.6~4.9	0.10~0.35	0.20~0.30	0.075~0.160	0.020~0.050	1,305~1,395

2. Experimental conditions

Heat size	290 t/torpedo
Injection lance	Refractory coated lance
Carrier gas	N ₂ (4~8 Nm ³ /min)
Flux	Mill scale, CaO, CaF ₂ , and CaCl ₂ (55%) (35%) (5%) (2~5%)
Flux size	-1.0 mm
Flux injection rate	200~600 kg/min (0.5~2.5 kg/min·(t·p))
Injection time (including sampling & waiting time)	20~120 min*



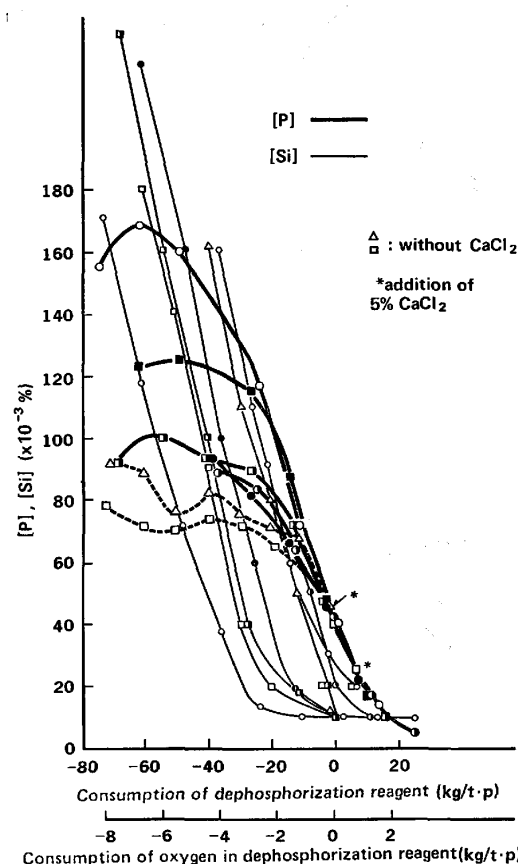
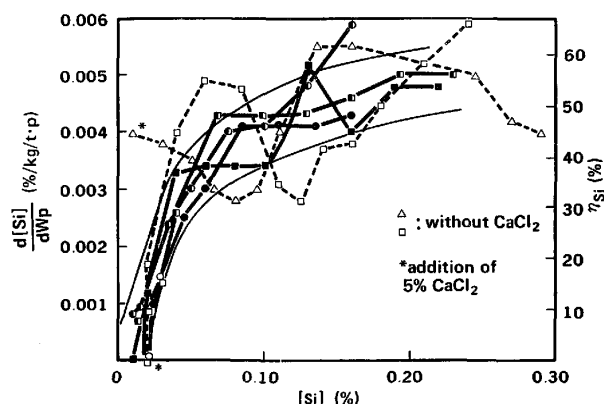
3. 試験結果

3.1 りんを中心とした各元素の挙動

3.1.1 りんの挙動—3つのステージ

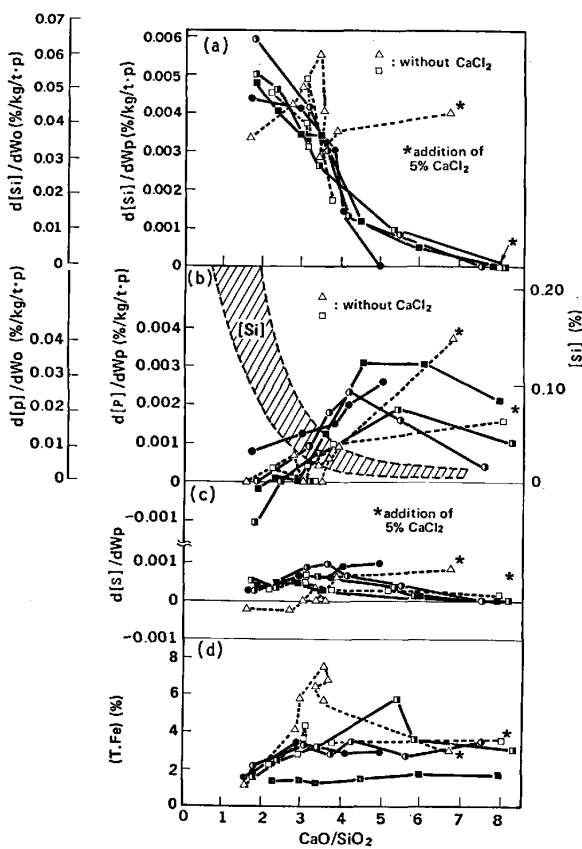
脱りん挙動は、残留スラグを含む溶銑の初期条件および吹き込み速度等の処理条件が異なつても、脱りん剤原単位あるいは供給酸素原単位という示強変数で類型化できる。すなわち、 $\Delta[P]/\Delta$ 脱りん剤原単位は初期条件に応じて固有の曲線を描くが、 $[P] \approx 0.040\%$ の領域になると共通の傾きを持ち始める。この様子をパターンAの場合について Fig. 1 に示す。横軸は類型化を明確にするため $[P] \approx 0.040\%$ に対応する脱りん剤原単位を原点にとり時間の正負に合わせて符号がつけてある。極低りん域 ($[P] < 100$ ppm) のデータ数が豊富なパターンBの場合でも全く同じ挙動をすることが確認された。この類型は次の3つの領域に分割できる。—以下の説明に用いるグラフには CaCl_2 添加^{3)~5)} のないテストの結果も参考として併記してあるがこの場合には脱りん、脱硫、脱珪の諸反応の制御性、再現性が劣り類型化はやや不鮮明である。なお、グラフ中の*印はその時点で CaCl_2 が添加されたことを示す。

- 1) ステージI : $[P]$ に目立つた変化のない範囲を経て脱りんが開始する領域。Fig. 2 に示すように、まず $[Si]$ が供給酸素の 50~70% を消費し、ほぼ一定の $\Delta[Si]/\Delta W_0$ ($0.04\%/W_0$, W_0 : 酸素原単位; kg/t-P) で酸化される。次に $[Si]$ が 0.10~0.15% 到達すると $\Delta[Si]/\Delta W_0$ が減少し始め Fig. 3(b) に示すように脱りんが開

Fig. 1. Variation of [P] and [Si] with consumption of dephosphorization reagent or supplied oxygen (Starting point is set at $[P] = 0.04\%$).Fig. 2. Variation of desiliconization rate $d[Si]/dW_p$ and oxygen desiliconization efficiency η_{Si} with $[Si]$. (W_p : Consumption of dephosphorization reagent)

始する。この領域のスラグ塩基度は 1.8 から 3.0 である。

- 2) ステージII : $\Delta[P]/\Delta W_0$ が高勾配域に収束していく領域。Fig. 3(a) (b) に示すように $[Si]$ が 0.02~0.03% で $\Delta[Si]/\Delta W_0$ と $\Delta[P]/\Delta W_0$ が逆転し（塩基度は 3~4, $\Delta[P]/\Delta W_0$ は 0.01~0.02%/kg/t-p),



(W_p : Consumption of deporphosphorization reagent
 W_o : Consumption of oxygen in deporphosphorization reagent)

Fig. 3. Dependence of (a) desiliconization rate $d[\text{Si}]/dW_p$ or $d[\text{Si}]/dW_o$, (b) deporphosphorization rate $d[\text{P}]/dW_p$ or $d[\text{P}]/dW_o$ and [Si], (c) desulfurization rate $d[\text{S}]/dW_p$, and (d) (T.Fe) on slag basicity.

$d[\text{P}]/dW_o$ は緩やかに上昇し最高点にいたる (塩基度 4~6, [P]~0.04%, $d[\text{P}]/dW_o \approx 0.03\%/\text{kg/t-P}$).

3) ステージⅢ: 脱りんの進行が鈍る領域。低りん領域 ($[P] < 0.02 \sim 0.04\%$), 高塩基度領域 (塩基度 6~8) で, $d[\text{P}]/dW_o$ が次第に減少する。

3・1・2 脱硫挙動

脱りんとともに脱硫も進行することが当溶銑処理の特徴である。 $d[\text{S}]/d$ 脱りん剤原単位を塩基度の関数として Fig. 3(c) に示す。また Fig. 3(d) に示すように、このときスラグ中 T·Fe は 1.5~4.0% の範囲 (CaCl_2 添加のある場合) でほぼ一定に推移する。脱硫は溶銑脱りん時に維持されるこの低酸素ポテンシャル領域では塩基度のみに支配され、塩基度 2 以下の領域では、脱りんよりも先行する。

[Si], [P], [S] の挙動の典型的な例を脱りん剤原単位の関数として Fig. 4 に示すが、脱りんの 3 つのステージが顕著に出ている。[S] も [P] と同様の台形パターンを示す。[Si] については初期 [Si] が 0.15~

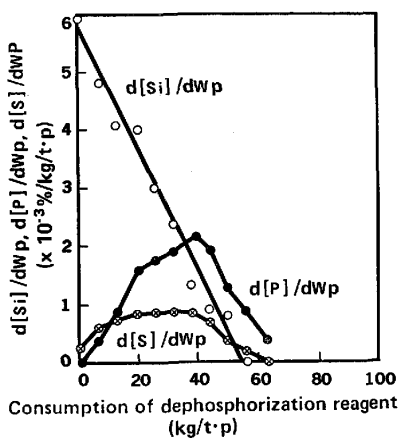


Fig. 4. Variation of de[Si] rate $d[\text{Si}]/dW_p$, de[P] rate $d[\text{P}]/dW_p$ and de[S] rate $d[\text{S}]/dW_p$ with consumption of deporphosphorization reagent (Typical case).

0.20% 以上の場合にはその領域で $d[\text{Si}]/dW_p$ はほぼ一定になる。

3・1・3 [C] の挙動

酸素バランス、脱りん反応式を解析するうえで、[C] の挙動は重要であるが、当溶銑処理ではインジェクション後の [C] の値は SCHENCK の式から推定される飽和 [C] 値にほぼ等しく実質的に脱 [C] は起こっていない。

3・2 りんを中心としたスラグ鉱物相調査

ステージⅠの後半からステージⅢにいたるまでりん濃縮相は存在し Apatite と同定された。 $(2\text{CaO} \cdot \text{SiO}_2)_m (3\text{CaO} \cdot \text{P}_2\text{O}_5)_n$ と同定されるりん希薄相も同時に存在するが、りんの大部は Apatite に含有される。Photo. 1 にステージⅢの初期のスラグ相調査結果を示す。Fig. 5 に P_2O_5 分析値と free CaO および $2\text{CaO} \cdot \text{SiO}_2$ を除いた CaO 分析値の関係を示すがステージⅡからステージⅢにかけて、その勾配が、 $3\text{CaO} \cdot \text{P}_2\text{O}_5$ の化学量論線とほぼ平行になっており、化学分析からも Apatite の生

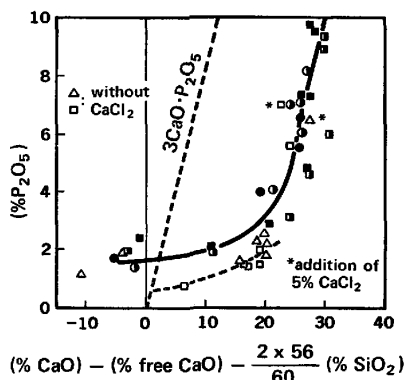


Fig. 5. Relationship between (CaO), suppressed free CaO and the part consumed for $2\text{CaO} \cdot \text{SiO}_2$ formation, and (%P₂O₅).

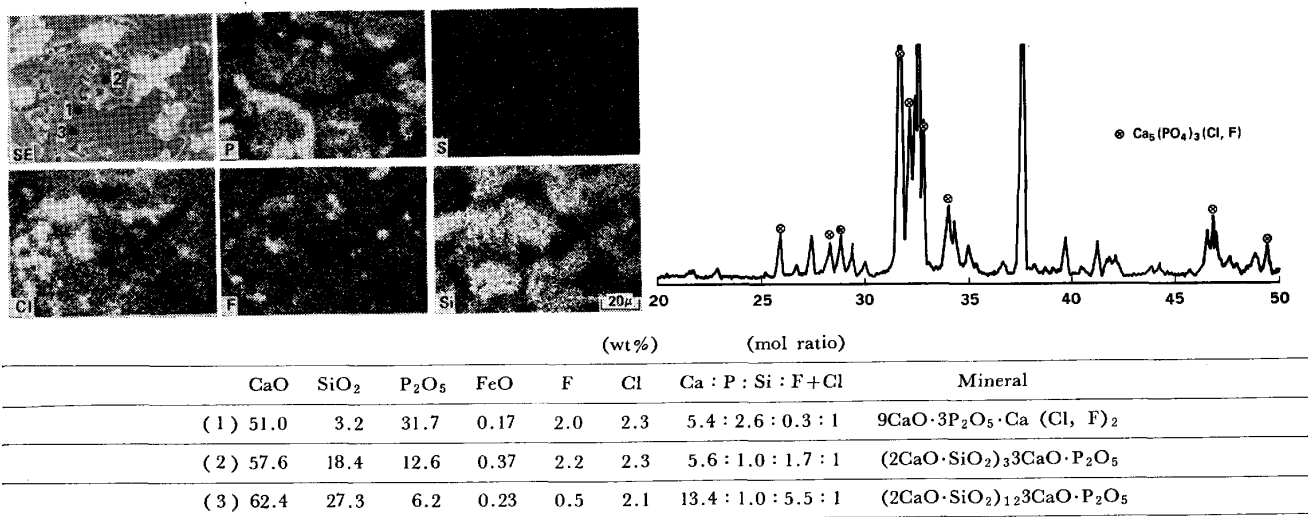


Photo. 1. EPMA images and analyses and X-ray powder diffraction line of dephosphorization slags (first half of stage III).

成が示唆される。なお横軸に 20% 程度のずれがあるのは、一部 $3\text{CaO} \cdot \text{SiO}_2$ 等が存在するためと考えられる。

4. 考 察

4.1 この脱りん系の特徴

この系の温度降下は、 $2.5 \text{ kg}/\text{min} \cdot \text{t-P}$ の脱りん剤吹き込み速度でインジェクションを行う時は、 $4^\circ\text{C}/\text{min}$ 程度であり、インジェクションを行わない時は、 $0.3^\circ\text{C}/\text{min}$ 程度である。この系の物質の出入りは、インジェクションを行わない時は、脱 [C] 反応が不活性なため (3.1.3) 小さい。

以下の解析に用いられる成分推移データが、近似的に閉鎖系であると考えられるスラグ・メタル系から得られたとした時、りんについては、そのときのスラグメタル成分系で最も安定な状態に分配されていると考えることは次の理由から妥当である。すなわち脱りん剤の吹き込み速度あるいはインジェクション中断後の待ち時間を変化させても、脱りん挙動が脱りん剤原単位で統一的に整理できたこと、脱りん処理から約 1~2 h 後の転炉装入前 [P] 値に変化がないことなどによる。さらにトーピードカーネル内溶銑の粉体インジェクション中の均一混合時間は著者ら⁶⁾ の 1/6 トーピードカーネル水モデルテストによると

$$\tau_{g+m} = 460 (\dot{\varepsilon}_g + 12.8 \dot{\varepsilon}_m)^{-0.46}$$

ここに τ_{g+m} : 粉体吹き込みの場合の均一混合時間

$\dot{\varepsilon}_g$: ガス浮上による攪拌エネルギー密度 (W/t)

$\dot{\varepsilon}_m$: 粉体吹き込み時の運動エネルギー密度 (W/t)

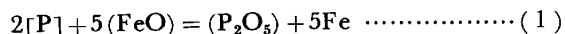
と表され実操業での均一混合時間は約 20~30 s となりサンプリング時間に比べて十分短いことによる。

4.2 热力学的検討

このスラグメタル系を閉鎖系で近似し、りんに関して平衡論的に検討する。溶銑領域では活量ベースのりん平衡に関する解析は、ほとんどないため、ここでは溶鋼で通常使用される活量計算式を、溶銑領域に適用し脱りん平衡を検討することを試みた。

4.2.1 脱りん反応式の確証

溶銑の脱りん反応式と脱りん平衡式は、(1)式、(2)式で統一的に記述されるとする。



$$\log(a_{\text{P}_2\text{O}_5}/a_{\text{P}}^2 \cdot a_{\text{FeO}}^5) = A/T + B \quad \dots \dots \dots (2)$$

ここに、 a_i : i 成分の活量、 T : 絶対温度、 A 、 B : 定数

次に、(2)式の検討に必要な活量係数の計算式および計算値に、TURKDOGAN⁸⁾ 大谷⁹⁾ 山田他¹⁰⁾ らの溶鋼領域における結果を適用して(3)から(7)式を得る。

$$a_{\text{P}_2\text{O}_5} = \gamma_{\text{P}_2\text{O}_5} \cdot N_{\text{P}_2\text{O}_5} \quad \dots \dots \dots (3)$$

$$\log \gamma_{\text{P}_2\text{O}_5} = -1.12(22N_{\text{CaO}} + 15N_{\text{MgO}} + 13N_{\text{MnO}}$$

$$+ 12N_{\text{FeO}} - 2N_{\text{SiO}_2} - 42000/T + 23.58 \dots \dots \dots (4)$$

$$a_{\text{P}} = f_{\text{P}} \cdot [\% \text{P}] \quad \dots \dots \dots (5)$$

$$a_{\text{FeO}} = \gamma_{\text{FeO}} \cdot N_{\text{FeO}} \quad \dots \dots \dots (6)$$

$$\gamma_{\text{FeO}} = (0.277 \times \text{CaO}/\text{SiO}_2 + 0.183) \cdot N_{\text{FeO}}^{0.37} \times \text{CaO}/\text{SiO}_2 - 1.368 \dots \dots \dots (7)$$

ここに、 N_i : i 成分のモル分率、 γ_i 、 f_i : i 成分の活量係数

ここで、溶銑脱りんスラグはりん濃度が高いことを考慮して $(\% \text{SiO}_2) = (\% \text{SiO}_2) + (\% \text{P}_2\text{O}_5)$ の補正をしてある。

なお F^- 、 Cl^- の熱力学的効果は $\gamma_{\text{P}_2\text{O}_5}$ と γ_{FeO} にお

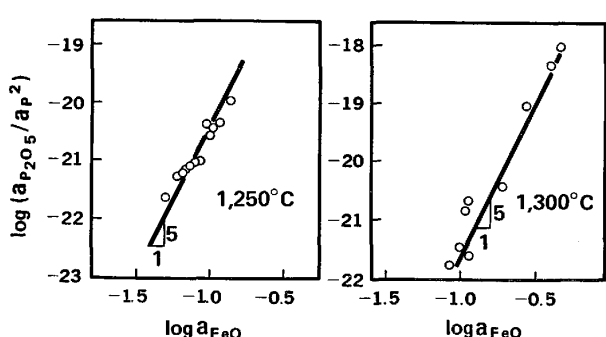


Fig. 6. Relationship between $\log a_{FeO}$ and $\log(a_{P_2O_5}/a_P^2)$ at $1250^\circ C$ and $1300^\circ C$.

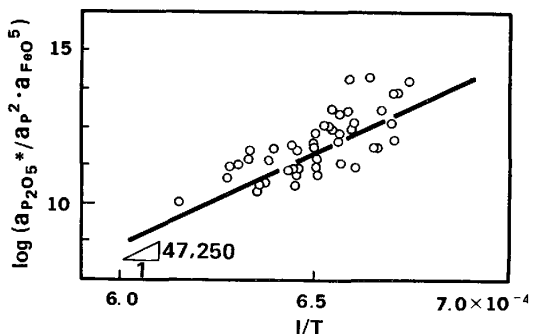


Fig. 7. Relationship between $\log(a_{P_2O_5}^*/a_P^2 * a_{FeO}^5)$ and $1/T$.

りこむべきであるが、現時点では定量的に評価するデータがないため考慮していない^{3)~5)}。脱りん挙動の類型化への F^- , Cl^- の効果は、スラグの活性化を向上させることが支配的だと考えられる。さて、(1)式が化学量論的に成り立つ反応式であるかを確認するために、ステージとしてはⅡからⅢの初期に対応するパターン A, B および S のスラグ・メタル成分値から処理温度がほぼ等しいものを選び(3)から(7)式に代入した。得られた a_{FeO} , $a_{P_2O_5}$, a_P を用いて、 $\log(a_{P_2O_5}/a_P^2)$ と $\log a_{FeO}$ の関係を示したのが Fig. 6 である。この関係の傾きは 5 であり溶銑脱りん反応式は(1)式で記述してよい。

4.2.2 脱りん反応の温度依存性と脱りん反応式の導出

活量項から温度依存性を分離するため、(4)式の温度項を除いた $\gamma_{P_2O_5}^*$ を用いて、(2)式の形で計算した結果を、Fig. 7 に示す。

$$\gamma_{P_2O_5}^* = -1.12 \sum A_i N_i + 23.58 \quad (8)$$

TURKDOGAN によると脱りん反応の温度依存項は $\gamma_{P_2O_5}$ の $42000/T$ と(1)式の反応に伴う温度項、 $5250/T$ で評価され、合計 $47250/T$ となる。Fig. 7 の傾きから求まる温度項は、ほぼ $47250/T$ と一致しており、 $\gamma_{P_2O_5}$ に(8)式を採用できる。従つて、この解析を実施した脱りん反応の反応式として(9)式が導出される。

$$\log(a_{P_2O_5}/a_P^2 * a_{FeO}^5) = 5250/T - 19.4 \quad (9)$$

4.2.3 脱りん反応を支配する簡易指標の導出

平衡論的考察をもとに、実操業において管理容易な指標で脱りん能を評価する。本試験条件下での P_2O_5 のモル分率は(10)式で表され、これを用いて(9)式を展開するとスラグメタル間のりん分配は(11)式で表される。

$$N_{P_2O_5} = 0.00485 \times (\% P_2O_5) \quad (10)$$

$$\log(\% P_2O_5)/[\% P]^2 = 5 \log a_{FeO} - \log \gamma_{P_2O_5} + 5250/T - 17.1 \quad (11)$$

Fig. 8 に示すように、温度別スラグ成分値(パターン A のステージ I, II および III の初期)を用いて得られた(11)式右辺の $\log \gamma_{P_2O_5}$, $\log a_{FeO}$ と塩基度との相関は明瞭である。りん分配の塩基度依存性を温度別に計算値と実績値を対応させて Fig. 9 に示す。なお影で示された部分は反応の進行による温度降低に伴うりん分配の向上効果の含まれた実績値の範囲を示す(パターン A, B, S のステージ I, II, および III の初期)。なおステージ III の後期については、熱力学的に統一的な解釈が困難であり今回の検討から外した。

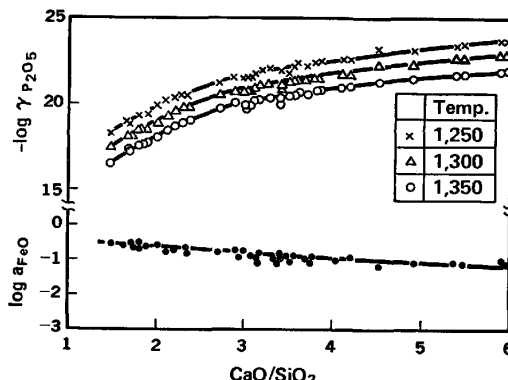


Fig. 8. Dependence of $-\log \gamma_{P_2O_5}$ on the basicity at $1250^\circ C$, $1300^\circ C$, and $1350^\circ C$; Dependence of $\log a_{FeO}$ on the basicity also shown.

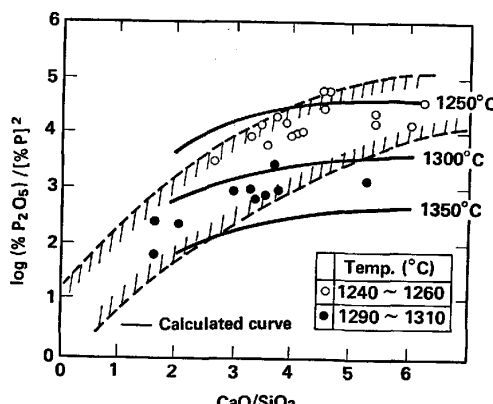


Fig. 9. Dependence of the phosphorus distribution ratio on the basicity of dephosphorization slags.

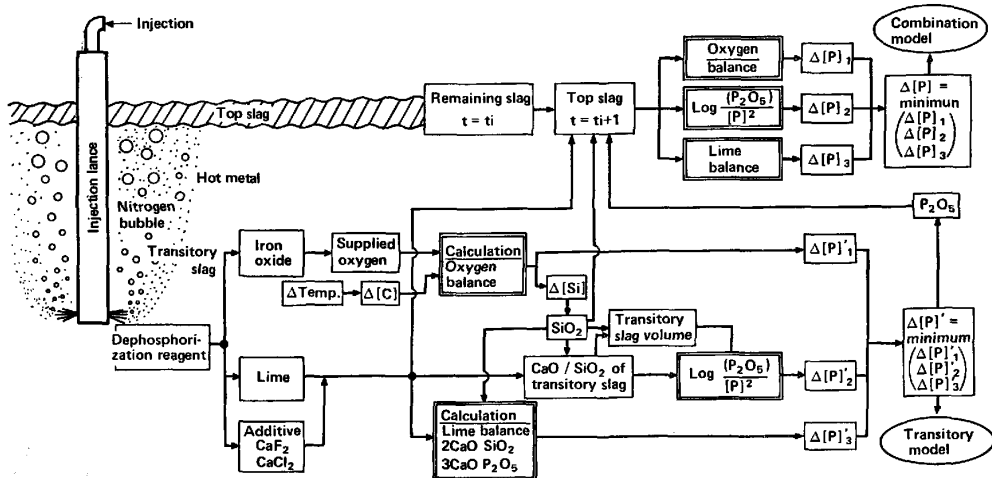


Fig. 10. Schematic flow chart of simulation model.

4.3 動的モデルの検討

系の初期条件に応じた脱りん挙動の予測およびりんのスラグとメタルへの分配を制御する因子の推定が可能な動的モデルを物質収支に基づいて検討した。

4.3.1 脱りんモデルの構成

モデルの考え方と構成を Fig. 10 に示す。反応はトランジトリースラグに関する部分とトップスラグに関する部分に分けて考える。脱りん反応の制御因子として、①酸素の分配、②りんのスラグメタル分配比、③CaO バランスを考慮し、溶銑成分の変化は、[P]、[Si] および [C] に限る²⁾。

1) 酸素の分配に関しては、C および [Si] に消費される酸素の残分が脱りんに関与するとして $\Delta[P]$ を決定する。C に消費される酸素量は処理中の溶銑温度降下 ($1.6^{\circ}\text{C}/\text{脱りん剤 } 1 \text{ kg/t-P}$) による C の飽和溶解度の低下 ($2.6 \times 10^{-3} \%/\text{ }^{\circ}\text{C}$) に起因する析出 C 当量であるとした。[Si] に消費される酸素量は Fig. 2 の平均的推移の値を代表して用いた。

2) りんのスラグメタル分配比は、Fig. 9 の斜線部分の平均的推移の値を代表して用いた。

3) CaO バランスは、スラグの CaO 系鉱物相として $2\text{CaO} \cdot \text{SiO}_2$ および $3\text{CaO} \cdot \text{P}_2\text{O}_5$ を仮定し $2\text{CaO} \cdot \text{SiO}_2$ 形成が優先するとした (Fig. 5, Photo. 1)。

この 3 つの因子のうち、 $\Delta[P]$ の最も小さい径路で脱りん量が規定されたとした。なお計算サイクルは、脱りん剤 1 kg/t-P で実施した。この脱りんモデルは、次に定義される 2 つのサブモデルを計算する機能をもつ。

①コンビネーションモデル：トランジトリースラグを吸収したトップスラグが、すみやかに（サンプリング時間より短い時間で）単相となり溶銑と平衡するモデル。

②トランジトリーモデル¹¹⁾：溶銑内を浮上中あるいは

浮上後、サンプリング時間より短い時間で溶銑と平衡に達したトランジトリースラグが、その後溶銑および近傍スラグとも反応しない（多相スラグ）モデル。

ここでトランジトリースラグの量 SV_{Tr} は吹き込まれた脱りん剤中の CaO 成分量 W_{CaO} と脱りん剤中の酸化鉄により酸化され生成する SiO_2 成分量 W_{SiO_2} との量バランスにより決定した。すなわち、あらかじめ脱りん処理中の任意の時期に採取したトップスラグの組成は次の関係をほぼ満足しており、

$$(\% \text{CaO}) + (\% \text{SiO}_2) = 75.6$$

この関係がトランジトリースラグでも成立するとして

$$SV_{Tr} = W_{SiO_2} \cdot ((\text{CaO}) / (\text{SiO}_2) + 1) / 0.756$$

により求めた。

トップスラグの量については初期残留スラグ中の CaO および SiO_2 成分の量とトランジトリースラグから供給された CaO および SiO_2 成分の量との和によって同様に決定した。

4.3.2 検討結果

今回は、コンビネーションモデルで検討を行つた¹¹⁾。経時的サンプリングテストのシミュレーション結果は Fig. 11 に示すように、処理前 [Si] の異なる 2 つのケースについて実績とよく一致している。

このモデルの計算結果、処理初期の脱りん停滞領域は脱珪反応優先による酸素供給量制約、または処理前残留スラグの塩基度が低い場合では、CaO バランス制約であること、処理中期の脱りん進行領域は酸素供給量が制約されること、および処理末期の脱りん停滞領域は $\log (P_2O_5) / [P]^2$ が制約であること、以上のことが判明した。この 3 つの領域は、3.1 項で定義したステージ I, II および III に合致し、Fig. 4 に示された脱りんの反応工程の移行点にもよく対応している。

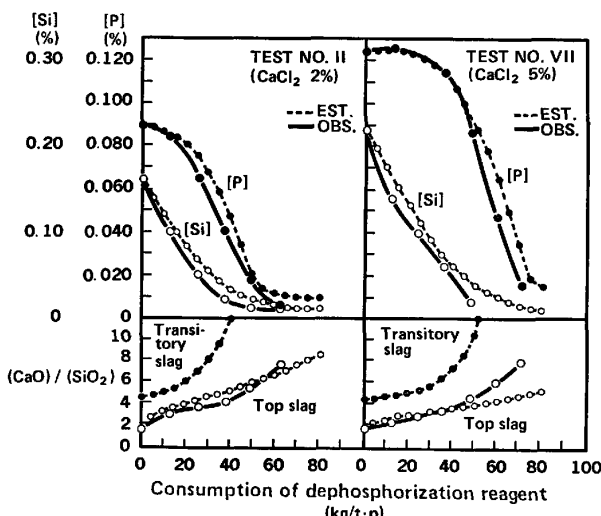


Fig. 11. Comparison of estimated changes of phosphorus and silicon contents and slag basicity with observed transitions.

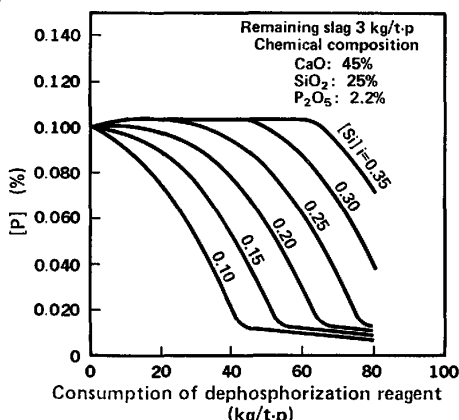


Fig. 12. Estimation of influence of silicon content before dephosphorization, $[Si]$ i, on dephosphorization path.

このモデルの応用例として、脱りん挙動に及ぼす処理前 $[Si]$ の影響を予測したものを Fig. 12 に示す。 $[Si]$ が 0.25% 以上では初期に顕著な脱りん停滞域ができる。

なおコンビネーションモデルでは、ステージⅢの後期で実績値との間に少しずれを生ずるが、この説明にトランジトリーモデルが必要となる¹¹⁾。

5. 結 言

石灰系フラックスと酸化鉄の高速インジェクションによる溶銑脱りん反応の解析を行い、以下の知見を得た。

- 脱りん挙動は脱りん剤原単位あるいは供給酸素原単位という示強変数により統一的に 3 つのステージに分割される。この 3 つのステージは、脱りん停滞～開始領域、脱りん進行領域および脱りん鈍化領域から成り、溶銑 Si, スラグ塩基度等により支配される。
- りん分配に関して平衡論的取り扱いが可能である。1200~1400°C の溶銑領域において、従来転炉で使われている活量計算方法が近似的に適用できることを確認し溶銑・スラグ間の脱りん反応式を導出した。

- 脱りん挙動をかなりの精度で説明する、トランジトリーリン反応とパーマネント反応を考慮した動的モデルを提案した。このモデルにより 3 つのステージは塩基度、溶銑 Si, 供給酸素量およびりん分配比のような反応因子により制御されることが判明した。

文 献

- 山本里見、梶岡博幸: 鉄と鋼, 65 (1979), S 210
他多数
- K. SASAKI, H. NAKASHIMA, M. NOSE, Y. TAKASAKI, and H. OKUMURA: The 66th Steelmaking Conference of AIME (1983)
- 井上博文、重野芳人、徳田昌則、大谷正康: 鉄と鋼, 63 (1977) S 159
- 井上博文、重野芳人、徳田昌則、大谷正康: 鉄と鋼, 64 (1978) A 17
- 向井達夫、福田正博、後藤裕規、和田要: 鉄と鋼, 67 (1981), S 935
- 辻野良二、福田正博、向井達夫、山田容三、奥村治彦: 鉄と鋼, 69 (1983), S 957
- 佐野信雄、岩崎克博、松下幸雄: 鉄と鋼, 67 (1981), p. 536
- E. T. TURKDOGAN and J. PEARSON: JISI, 176 (1954), p. 59
- 大谷正康: 鉄冶金熱力学, p. 218 [日刊工業新聞社]
- 山田健三、河井良彦、川和高穂: 鉄と鋼, 65 (1979), S 674
- 住田守弘、山田容三、奥村治彦、中島啓之、佐々木清和: 鉄と鋼, 69 (1983), S 956